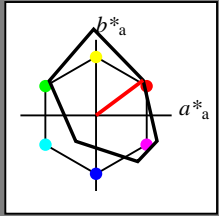


Eingabe: Farbmetrisches Drucker-Reflektiv-System FRS06

für Buntton $h^* = lab^*h = 37/360 = 0.102$
 lab^*ich und lab^*nch

D65: Buntton O
 LCH*Ma: 33 78 37
 olv*Ma: 1.0 0.0 0.0

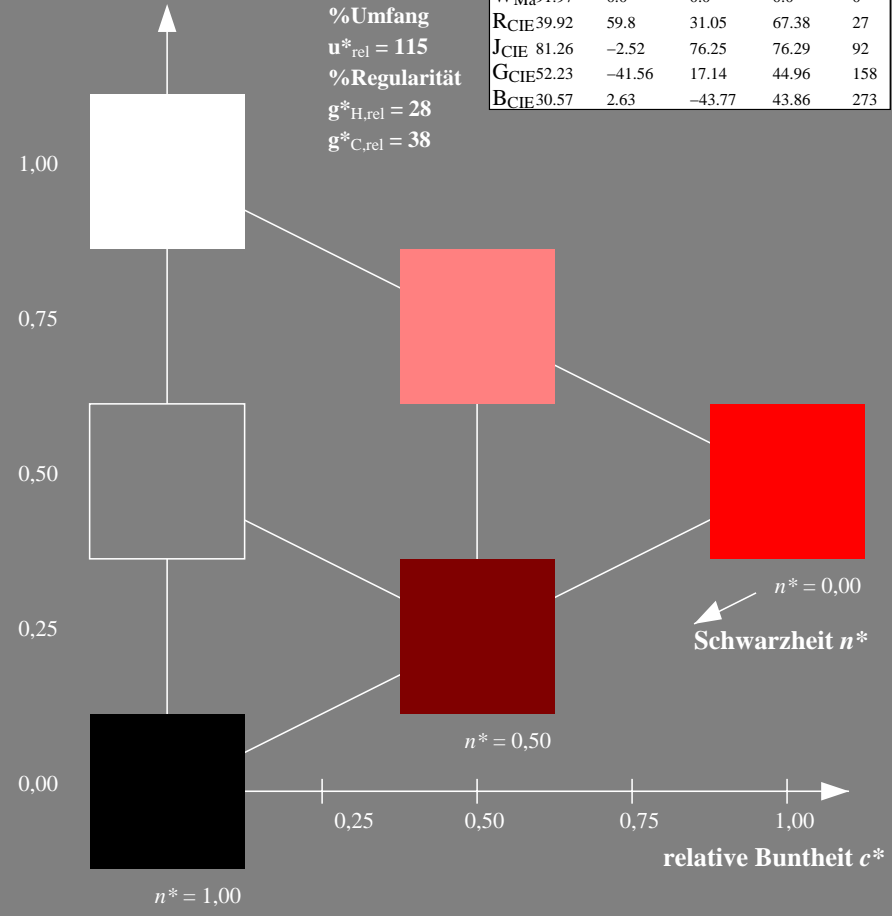


FRS06; adaptierte CIELAB-Daten

	$L^*=L^*_a$	a^*_a	b^*_a	$C^*_{ab,a}$	$h^*_{ab,a}$
O _{Ma}	32.57	62.32	46.49	77.75	37
Y _{Ma}	82.73	-3.16	113.99	114.03	92
L _{Ma}	39.43	-61.79	45.84	76.95	143
C _{Ma}	47.86	-26.79	-34.24	43.49	232
V _{Ma}	10.16	55.12	-61.03	82.24	312
M _{Ma}	34.5	80.68	-33.92	87.52	337
N _{Ma}	6.25	0.0	0.0	0.0	0
W _{Ma}	91.97	0.0	0.0	0.0	0
R _{CIE}	39.92	59.8	31.05	67.38	27
J _{CIE}	81.26	-2.52	76.25	76.29	92
G _{CIE}	52.23	-41.56	17.14	44.96	158
B _{CIE}	30.57	2.63	-43.77	43.86	273

Dreiecks-Helligkeit t^*

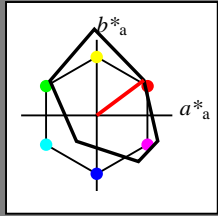
%Umfang
 $u^*_{rel} = 115$
 %Regularität
 $g^*_{H,rel} = 28$
 $g^*_{C,rel} = 38$



Ausgabe: Farbmetrisches Drucker-Reflektiv-System FRS06

für Buntton $h^* = lab^*h = 37/360 = 0.102$
 lab^*ich und lab^*nch

D65: Buntton O
 LCH*Ma: 33 78 37
 olv*Ma: 1.0 0.0 0.0

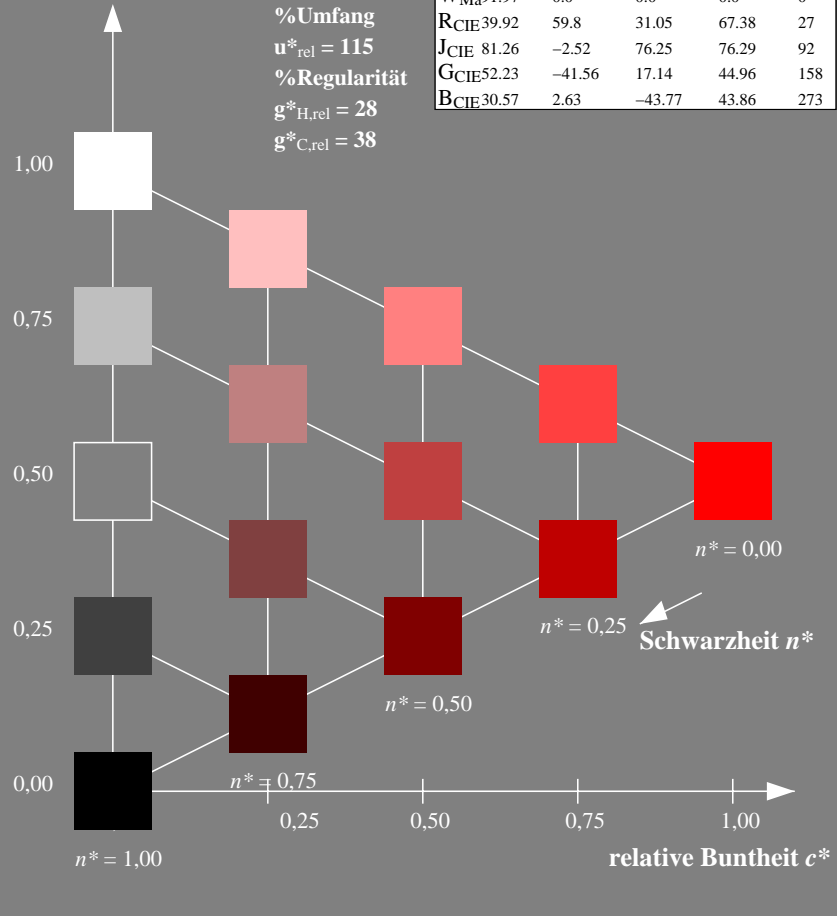


FRS06; adaptierte CIELAB-Daten

	$L^*=L^*_a$	a^*_a	b^*_a	$C^*_{ab,a}$	$h^*_{ab,a}$
O _{Ma}	32.57	62.32	46.49	77.75	37
Y _{Ma}	82.73	-3.16	113.99	114.03	92
L _{Ma}	39.43	-61.79	45.84	76.95	143
C _{Ma}	47.86	-26.79	-34.24	43.49	232
V _{Ma}	10.16	55.12	-61.03	82.24	312
M _{Ma}	34.5	80.68	-33.92	87.52	337
N _{Ma}	6.25	0.0	0.0	0.0	0
W _{Ma}	91.97	0.0	0.0	0.0	0
R _{CIE}	39.92	59.8	31.05	67.38	27
J _{CIE}	81.26	-2.52	76.25	76.29	92
G _{CIE}	52.23	-41.56	17.14	44.96	158
B _{CIE}	30.57	2.63	-43.77	43.86	273

Dreiecks-Helligkeit t^*

%Umfang
 $u^*_{rel} = 115$
 %Regularität
 $g^*_{H,rel} = 28$
 $g^*_{C,rel} = 38$



XG660-7, 3stufige Reihen für konstanten CIELAB Buntton 37/360 = 0.102 (links)

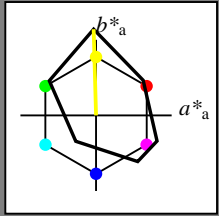
5stufige Reihen für konstanten CIELAB Buntton 37/360 = 0.102 (rechts)

Eingabe: Farbmetrisches Drucker-Reflektiv-System FRS06

für Buntton $h^* = lab^*h = 92/360 = 0.254$
 lab^*ich und lab^*nch

D65: Buntton Y
 LCH*Ma: 83 114 92
 olv*Ma: 1.0 1.0 0.0

Dreiecks-Helligkeit t^*



%Umfang
 $u^*_{rel} = 115$
 %Regularität
 $g^*_{H,rel} = 28$
 $g^*_{C,rel} = 38$

FRS06; adaptierte CIELAB-Daten

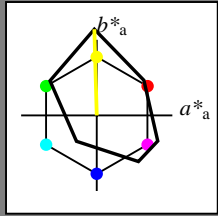
	$L^*=L^*_a$	a^*_a	b^*_a	$C^*_{ab,a}$	$h^*_{ab,a}$
OMa	32.57	62.32	46.49	77.75	37
YMa	82.73	-3.16	113.99	114.03	92
LMa	39.43	-61.79	45.84	76.95	143
CMa	47.86	-26.79	-34.24	43.49	232
VMa	10.16	55.12	-61.03	82.24	312
MMa	34.5	80.68	-33.92	87.52	337
NMa	6.25	0.0	0.0	0.0	0
WMa	91.97	0.0	0.0	0.0	0
RCIE	39.92	59.8	31.05	67.38	27
JCIE	81.26	-2.52	76.25	76.29	92
GCIE	52.23	-41.56	17.14	44.96	158
BCIE	30.57	2.63	-43.77	43.86	273

Ausgabe: Farbmetrisches Drucker-Reflektiv-System FRS06

für Buntton $h^* = lab^*h = 92/360 = 0.254$
 lab^*ich und lab^*nch

D65: Buntton Y
 LCH*Ma: 83 114 92
 olv*Ma: 1.0 1.0 0.0

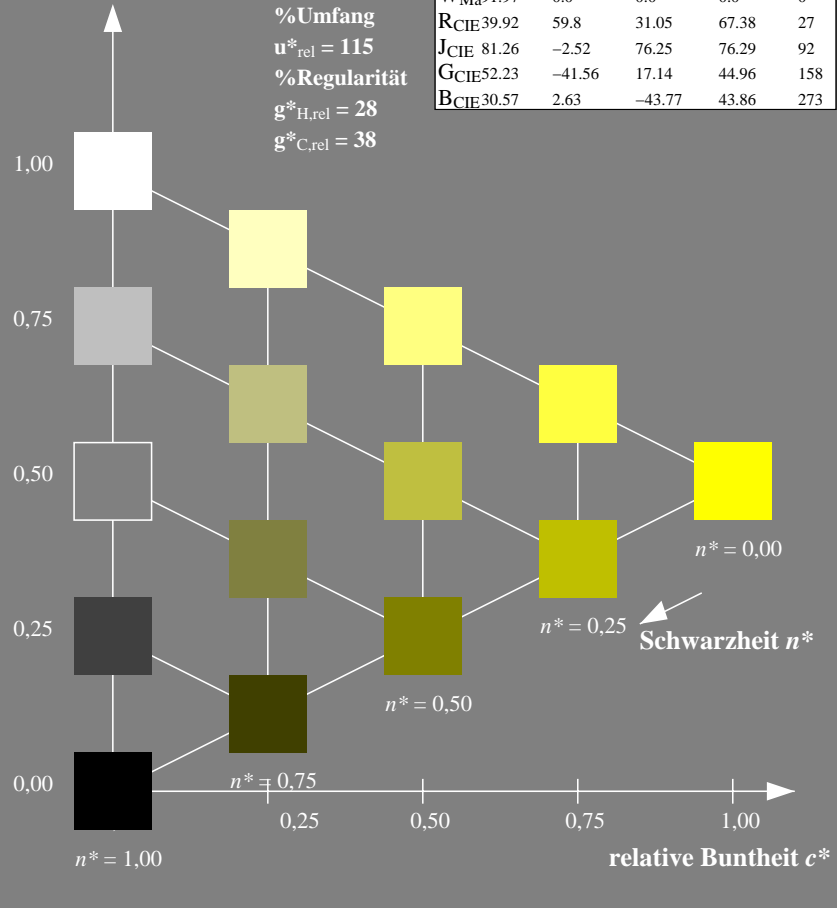
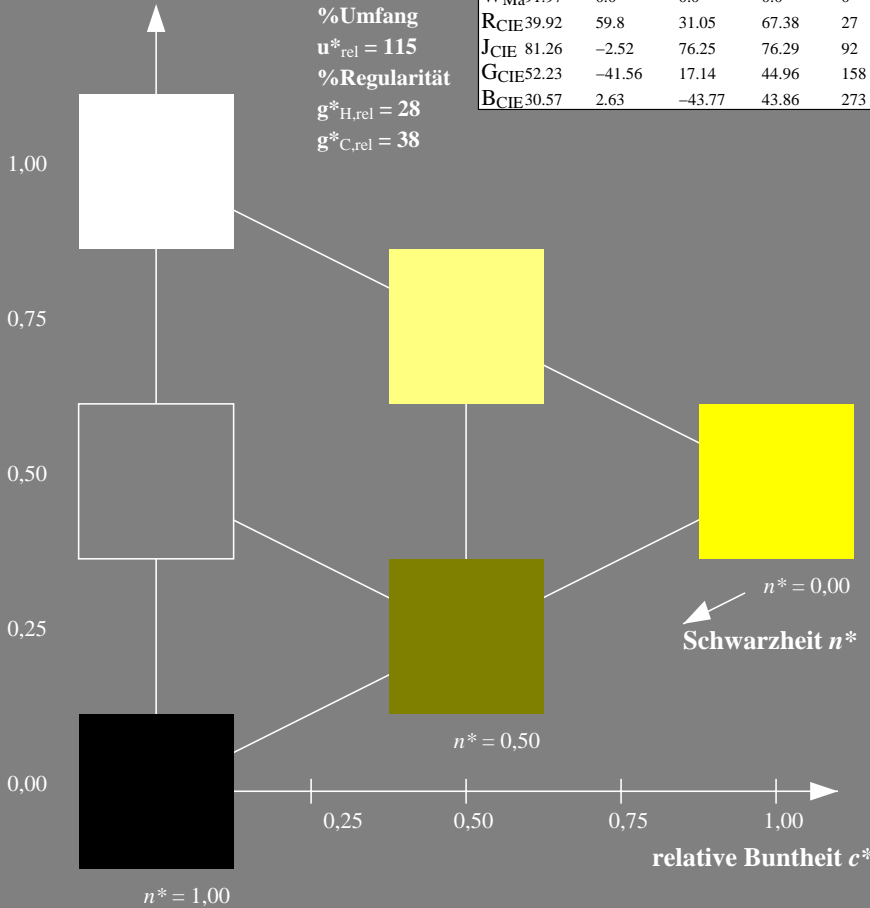
Dreiecks-Helligkeit t^*



%Umfang
 $u^*_{rel} = 115$
 %Regularität
 $g^*_{H,rel} = 28$
 $g^*_{C,rel} = 38$

FRS06; adaptierte CIELAB-Daten

	$L^*=L^*_a$	a^*_a	b^*_a	$C^*_{ab,a}$	$h^*_{ab,a}$
OMa	32.57	62.32	46.49	77.75	37
YMa	82.73	-3.16	113.99	114.03	92
LMa	39.43	-61.79	45.84	76.95	143
CMa	47.86	-26.79	-34.24	43.49	232
VMa	10.16	55.12	-61.03	82.24	312
MMa	34.5	80.68	-33.92	87.52	337
NMa	6.25	0.0	0.0	0.0	0
WMa	91.97	0.0	0.0	0.0	0
RCIE	39.92	59.8	31.05	67.38	27
JCIE	81.26	-2.52	76.25	76.29	92
GCIE	52.23	-41.56	17.14	44.96	158
BCIE	30.57	2.63	-43.77	43.86	273



XG660-7, 3stufige Reihen für konstanten CIELAB Buntton 92/360 = 0.254 (links)

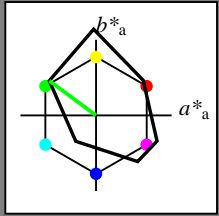
5stufige Reihen für konstanten CIELAB Buntton 92/360 = 0.254 (rechts)

Eingabe: Farbmetrisches Drucker-Reflektiv-System FRS06

für Buntton $h^* = lab^*h = 143/360 = 0.398$
 lab^*ich und lab^*nch

D65: Buntton L
 LCH*Ma: 39 77 143
 olv*Ma: 0.0 1.0 0.0

Dreiecks-Helligkeit t^*



%Umfang
 $u^*_{rel} = 115$
 %Regularität
 $g^*_{H,rel} = 28$
 $g^*_{C,rel} = 38$

FRS06; adaptierte CIELAB-Daten

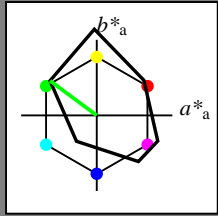
	$L^*=L^*_a$	a^*_a	b^*_a	$C^*_{ab,a}$	$h^*_{ab,a}$
O _{Ma}	32.57	62.32	46.49	77.75	37
Y _{Ma}	82.73	-3.16	113.99	114.03	92
L _{Ma}	39.43	-61.79	45.84	76.95	143
C _{Ma}	47.86	-26.79	-34.24	43.49	232
V _{Ma}	10.16	55.12	-61.03	82.24	312
M _{Ma}	34.5	80.68	-33.92	87.52	337
N _{Ma}	6.25	0.0	0.0	0.0	0
W _{Ma}	91.97	0.0	0.0	0.0	0
R _{CIE}	39.92	59.8	31.05	67.38	27
J _{CIE}	81.26	-2.52	76.25	76.29	92
G _{CIE}	52.23	-41.56	17.14	44.96	158
B _{CIE}	30.57	2.63	-43.77	43.86	273

Ausgabe: Farbmetrisches Drucker-Reflektiv-System FRS06

für Buntton $h^* = lab^*h = 143/360 = 0.398$
 lab^*ich und lab^*nch

D65: Buntton L
 LCH*Ma: 39 77 143
 olv*Ma: 0.0 1.0 0.0

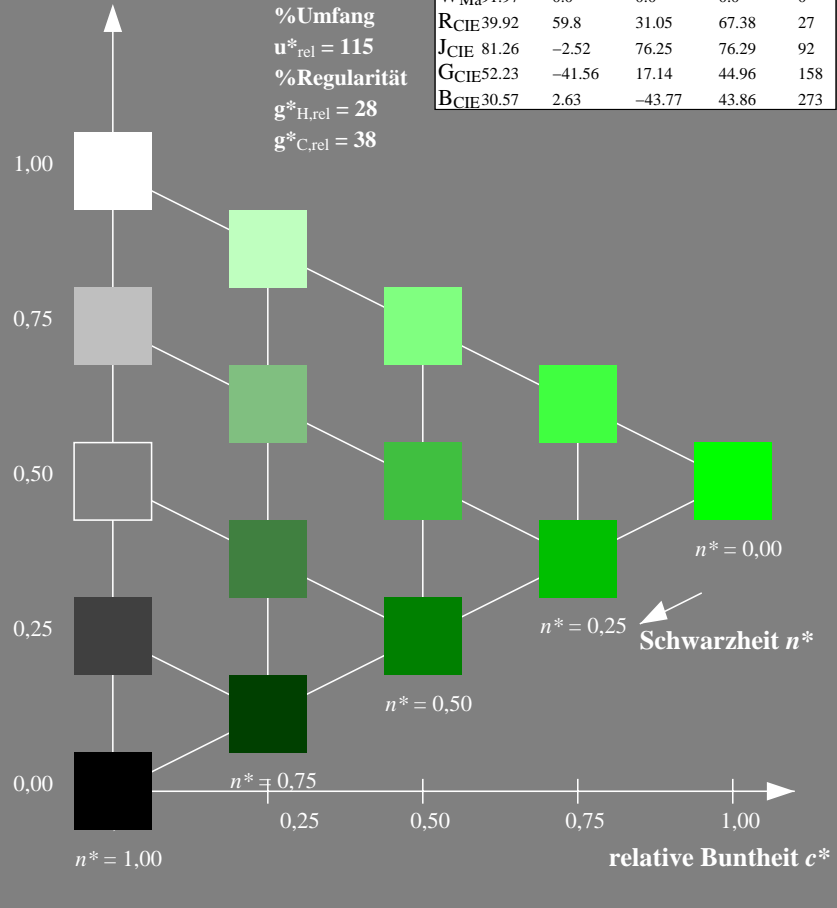
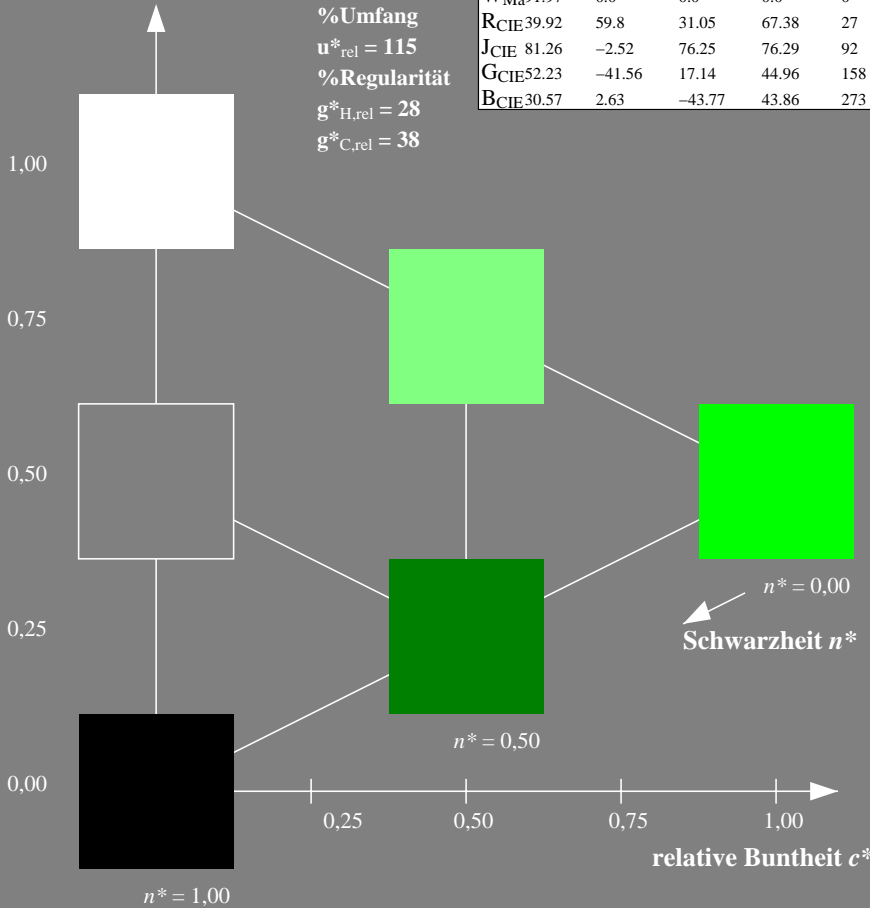
Dreiecks-Helligkeit t^*



%Umfang
 $u^*_{rel} = 115$
 %Regularität
 $g^*_{H,rel} = 28$
 $g^*_{C,rel} = 38$

FRS06; adaptierte CIELAB-Daten

	$L^*=L^*_a$	a^*_a	b^*_a	$C^*_{ab,a}$	$h^*_{ab,a}$
O _{Ma}	32.57	62.32	46.49	77.75	37
Y _{Ma}	82.73	-3.16	113.99	114.03	92
L _{Ma}	39.43	-61.79	45.84	76.95	143
C _{Ma}	47.86	-26.79	-34.24	43.49	232
V _{Ma}	10.16	55.12	-61.03	82.24	312
M _{Ma}	34.5	80.68	-33.92	87.52	337
N _{Ma}	6.25	0.0	0.0	0.0	0
W _{Ma}	91.97	0.0	0.0	0.0	0
R _{CIE}	39.92	59.8	31.05	67.38	27
J _{CIE}	81.26	-2.52	76.25	76.29	92
G _{CIE}	52.23	-41.56	17.14	44.96	158
B _{CIE}	30.57	2.63	-43.77	43.86	273



XG660-7, 3stufige Reihen für konstanten CIELAB Buntton 143/360 = 0.398 (links)

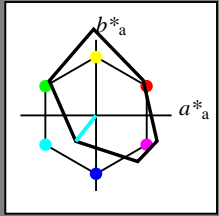
5stufige Reihen für konstanten CIELAB Buntton 143/360 = 0.398 (rechts)

Eingabe: Farbmetrisches Drucker-Reflektiv-System FRS06

für Buntton $h^* = lab^*h = 232/360 = 0.644$
 lab^*ich und lab^*nch

D65: Buntton C
 LCH*Ma: 48 43 232
 olv*Ma: 0.0 1.0 1.0

Dreiecks-Helligkeit t^*



%Umfang
 $u^*_{rel} = 115$
 %Regularität
 $g^*_{H,rel} = 28$
 $g^*_{C,rel} = 38$

FRS06; adaptierte CIELAB-Daten

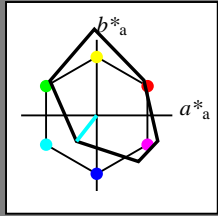
	$L^*=L^*_a$	a^*_a	b^*_a	$C^*_{ab,a}$	$h^*_{ab,a}$
O _{Ma}	32.57	62.32	46.49	77.75	37
Y _{Ma}	82.73	-3.16	113.99	114.03	92
L _{Ma}	39.43	-61.79	45.84	76.95	143
C _{Ma}	47.86	-26.79	-34.24	43.49	232
V _{Ma}	10.16	55.12	-61.03	82.24	312
M _{Ma}	34.5	80.68	-33.92	87.52	337
N _{Ma}	6.25	0.0	0.0	0.0	0
W _{Ma}	91.97	0.0	0.0	0.0	0
R _{CIE}	39.92	59.8	31.05	67.38	27
J _{CIE}	81.26	-2.52	76.25	76.29	92
G _{CIE}	52.23	-41.56	17.14	44.96	158
B _{CIE}	30.57	2.63	-43.77	43.86	273

Ausgabe: Farbmetrisches Drucker-Reflektiv-System FRS06

für Buntton $h^* = lab^*h = 232/360 = 0.644$
 lab^*ich und lab^*nch

D65: Buntton C
 LCH*Ma: 48 43 232
 olv*Ma: 0.0 1.0 1.0

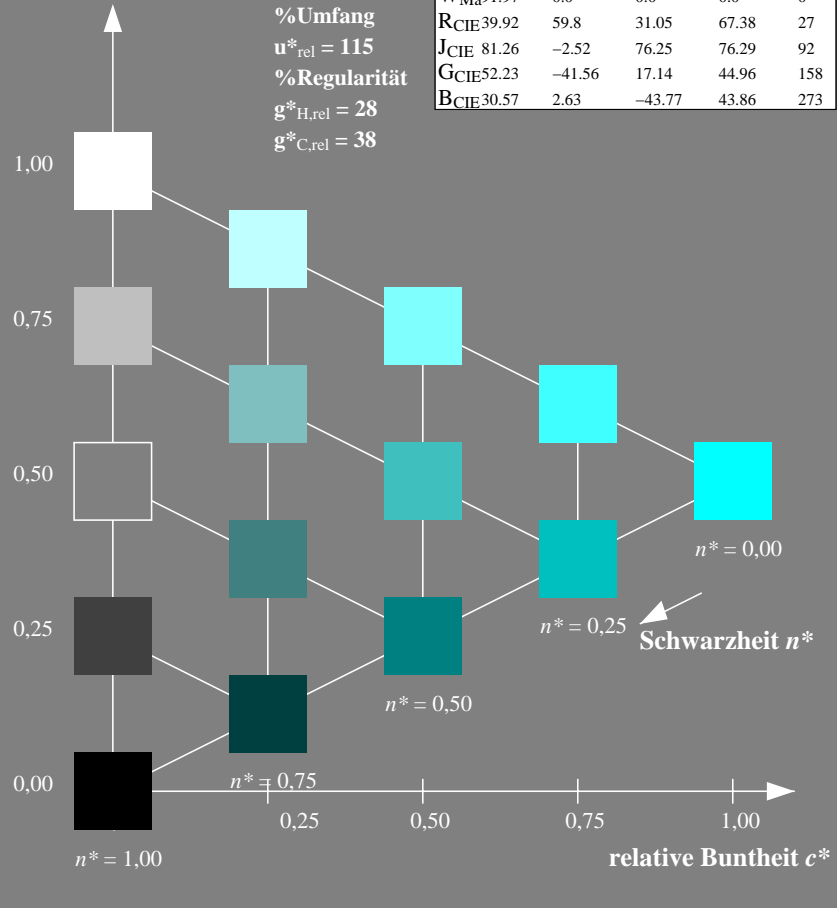
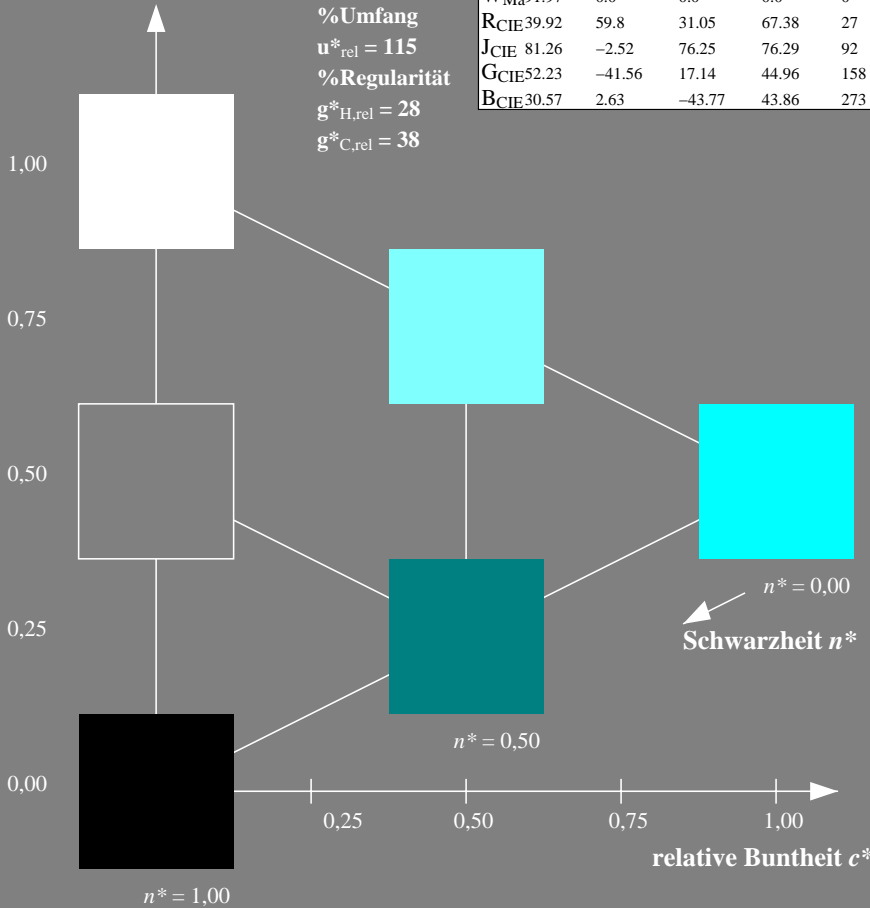
Dreiecks-Helligkeit t^*



%Umfang
 $u^*_{rel} = 115$
 %Regularität
 $g^*_{H,rel} = 28$
 $g^*_{C,rel} = 38$

FRS06; adaptierte CIELAB-Daten

	$L^*=L^*_a$	a^*_a	b^*_a	$C^*_{ab,a}$	$h^*_{ab,a}$
O _{Ma}	32.57	62.32	46.49	77.75	37
Y _{Ma}	82.73	-3.16	113.99	114.03	92
L _{Ma}	39.43	-61.79	45.84	76.95	143
C _{Ma}	47.86	-26.79	-34.24	43.49	232
V _{Ma}	10.16	55.12	-61.03	82.24	312
M _{Ma}	34.5	80.68	-33.92	87.52	337
N _{Ma}	6.25	0.0	0.0	0.0	0
W _{Ma}	91.97	0.0	0.0	0.0	0
R _{CIE}	39.92	59.8	31.05	67.38	27
J _{CIE}	81.26	-2.52	76.25	76.29	92
G _{CIE}	52.23	-41.56	17.14	44.96	158
B _{CIE}	30.57	2.63	-43.77	43.86	273



XG660-7, 3stufige Reihen für konstanten CIELAB Buntton 232/360 = 0.644 (links)

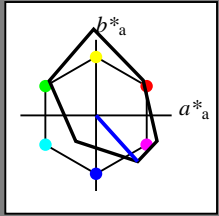
5stufige Reihen für konstanten CIELAB Buntton 232/360 = 0.644 (rechts)

Eingabe: Farbmetrisches Drucker-Reflektiv-System FRS06

für Buntton $h^* = lab^*h = 312/360 = 0.867$
 lab^*ich und lab^*nch

D65: Buntton V
 LCH*Ma: 10 82 312
 olv*Ma: 0.0 0.0 1.0

Dreiecks-Helligkeit t^*



%Umfang
 $u^*_{rel} = 115$
 %Regularität
 $g^*_{H,rel} = 28$
 $g^*_{C,rel} = 38$

FRS06; adaptierte CIELAB-Daten

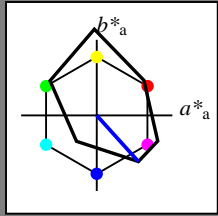
	$L^*=L^*_a$	a^*_a	b^*_a	$C^*_{ab,a}$	$h^*_{ab,a}$
O _{Ma}	32.57	62.32	46.49	77.75	37
Y _{Ma}	82.73	-3.16	113.99	114.03	92
L _{Ma}	39.43	-61.79	45.84	76.95	143
C _{Ma}	47.86	-26.79	-34.24	43.49	232
V _{Ma}	10.16	55.12	-61.03	82.24	312
M _{Ma}	34.5	80.68	-33.92	87.52	337
N _{Ma}	6.25	0.0	0.0	0.0	0
W _{Ma}	91.97	0.0	0.0	0.0	0
R _{CIE}	39.92	59.8	31.05	67.38	27
J _{CIE}	81.26	-2.52	76.25	76.29	92
G _{CIE}	52.23	-41.56	17.14	44.96	158
B _{CIE}	30.57	2.63	-43.77	43.86	273

Ausgabe: Farbmetrisches Drucker-Reflektiv-System FRS06

für Buntton $h^* = lab^*h = 312/360 = 0.867$
 lab^*ich und lab^*nch

D65: Buntton V
 LCH*Ma: 10 82 312
 olv*Ma: 0.0 0.0 1.0

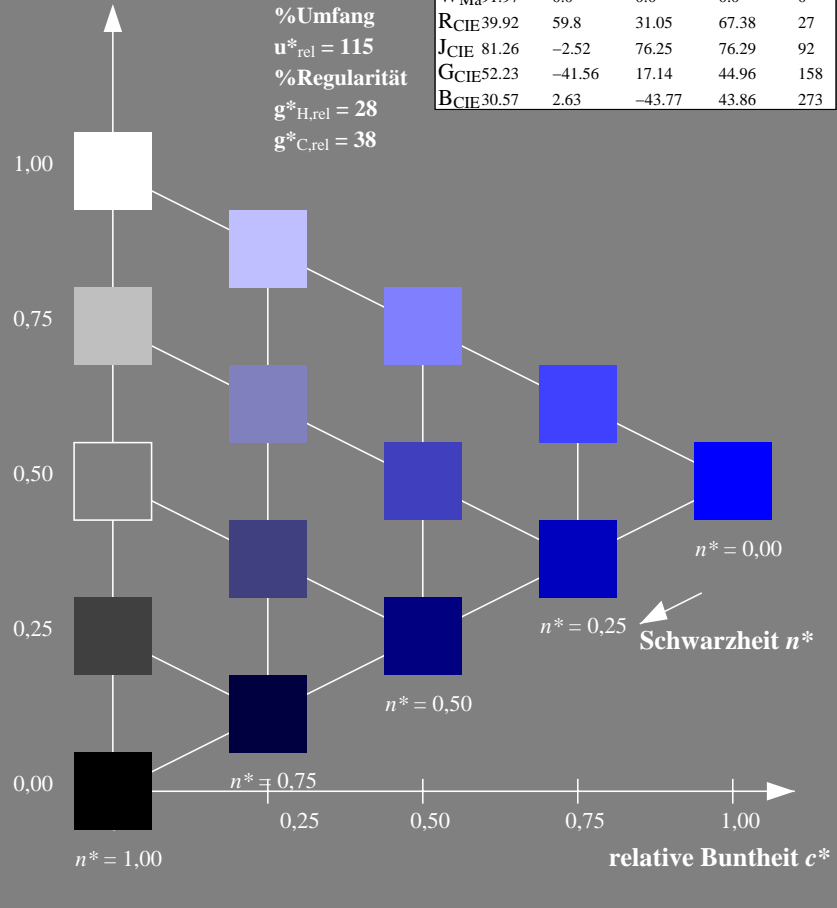
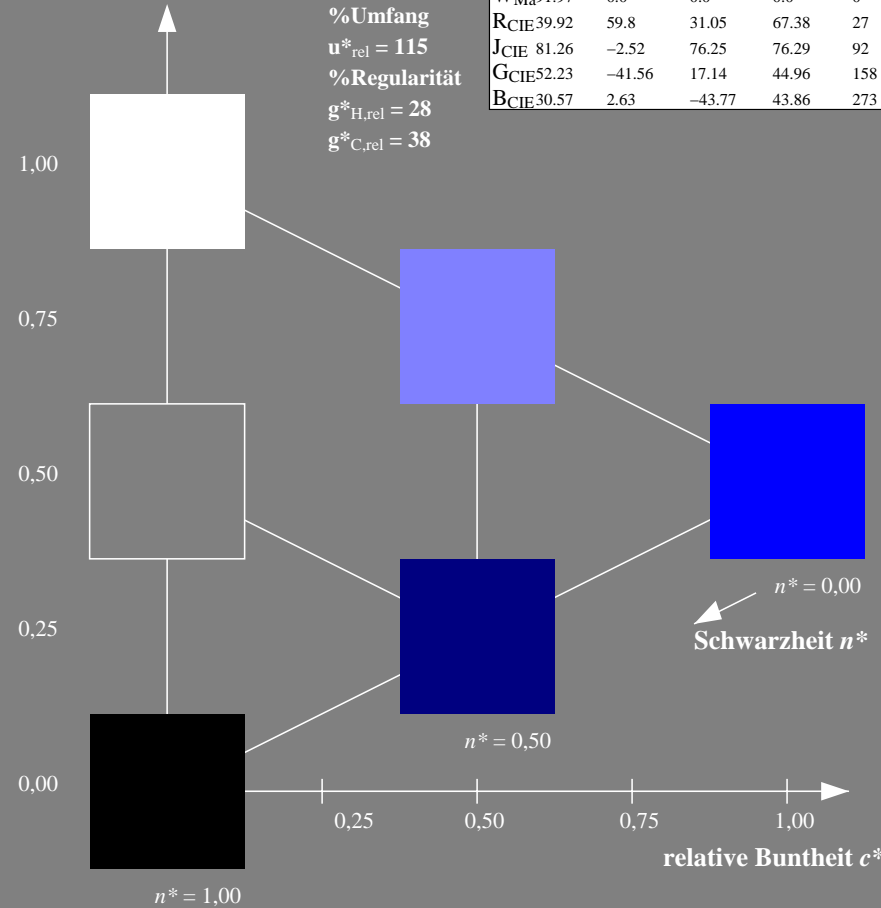
Dreiecks-Helligkeit t^*



%Umfang
 $u^*_{rel} = 115$
 %Regularität
 $g^*_{H,rel} = 28$
 $g^*_{C,rel} = 38$

FRS06; adaptierte CIELAB-Daten

	$L^*=L^*_a$	a^*_a	b^*_a	$C^*_{ab,a}$	$h^*_{ab,a}$
O _{Ma}	32.57	62.32	46.49	77.75	37
Y _{Ma}	82.73	-3.16	113.99	114.03	92
L _{Ma}	39.43	-61.79	45.84	76.95	143
C _{Ma}	47.86	-26.79	-34.24	43.49	232
V _{Ma}	10.16	55.12	-61.03	82.24	312
M _{Ma}	34.5	80.68	-33.92	87.52	337
N _{Ma}	6.25	0.0	0.0	0.0	0
W _{Ma}	91.97	0.0	0.0	0.0	0
R _{CIE}	39.92	59.8	31.05	67.38	27
J _{CIE}	81.26	-2.52	76.25	76.29	92
G _{CIE}	52.23	-41.56	17.14	44.96	158
B _{CIE}	30.57	2.63	-43.77	43.86	273



XG660-7, 3stufige Reihen für konstanten CIELAB Buntton 312/360 = 0.867 (links)

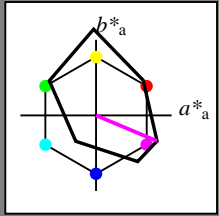
5stufige Reihen für konstanten CIELAB Buntton 312/360 = 0.867 (rechts)

Eingabe: Farbmetrisches Drucker-Reflektiv-System FRS06

für Buntton $h^* = lab^*h = 337/360 = 0.937$
 lab^*ich und lab^*nch

D65: Buntton M
 LCH*Ma: 35 88 337
 olv*Ma: 1.0 0.0 1.0

Dreiecks-Helligkeit t^*



%Umfang
 $u^*_{rel} = 115$
 %Regularität
 $g^*_{H,rel} = 28$
 $g^*_{C,rel} = 38$

FRS06; adaptierte CIELAB-Daten

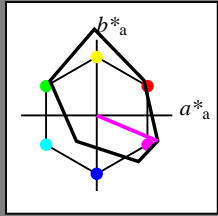
	$L^*=L^*_a$	a^*_a	b^*_a	$C^*_{ab,a}$	$h^*_{ab,a}$
O _{Ma}	32.57	62.32	46.49	77.75	37
Y _{Ma}	82.73	-3.16	113.99	114.03	92
L _{Ma}	39.43	-61.79	45.84	76.95	143
C _{Ma}	47.86	-26.79	-34.24	43.49	232
V _{Ma}	10.16	55.12	-61.03	82.24	312
M _{Ma}	34.5	80.68	-33.92	87.52	337
N _{Ma}	6.25	0.0	0.0	0.0	0
W _{Ma}	91.97	0.0	0.0	0.0	0
R _{CIE}	39.92	59.8	31.05	67.38	27
J _{CIE}	81.26	-2.52	76.25	76.29	92
G _{CIE}	52.23	-41.56	17.14	44.96	158
B _{CIE}	30.57	2.63	-43.77	43.86	273

Ausgabe: Farbmetrisches Drucker-Reflektiv-System FRS06

für Buntton $h^* = lab^*h = 337/360 = 0.937$
 lab^*ich und lab^*nch

D65: Buntton M
 LCH*Ma: 35 88 337
 olv*Ma: 1.0 0.0 1.0

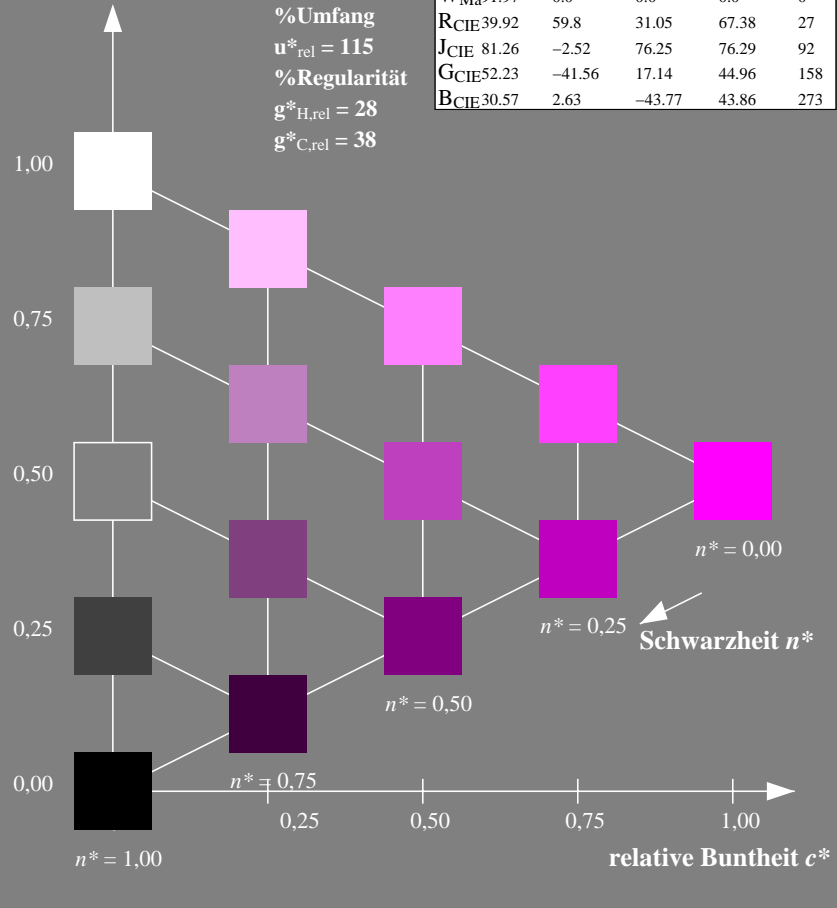
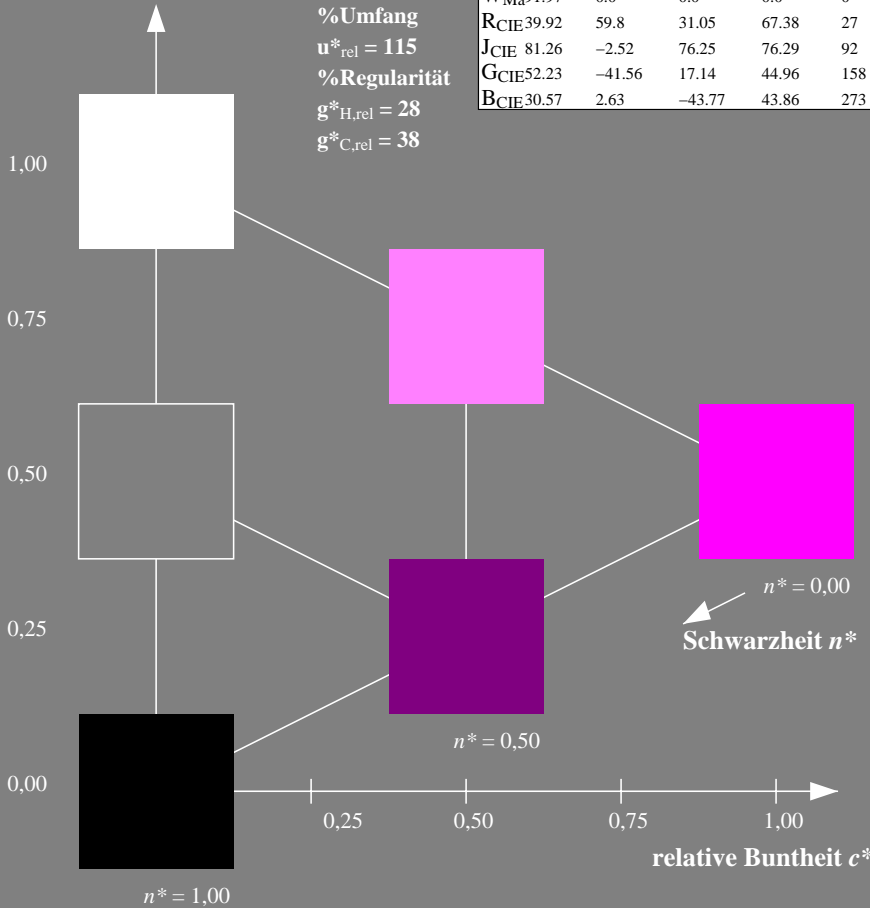
Dreiecks-Helligkeit t^*



%Umfang
 $u^*_{rel} = 115$
 %Regularität
 $g^*_{H,rel} = 28$
 $g^*_{C,rel} = 38$

FRS06; adaptierte CIELAB-Daten

	$L^*=L^*_a$	a^*_a	b^*_a	$C^*_{ab,a}$	$h^*_{ab,a}$
O _{Ma}	32.57	62.32	46.49	77.75	37
Y _{Ma}	82.73	-3.16	113.99	114.03	92
L _{Ma}	39.43	-61.79	45.84	76.95	143
C _{Ma}	47.86	-26.79	-34.24	43.49	232
V _{Ma}	10.16	55.12	-61.03	82.24	312
M _{Ma}	34.5	80.68	-33.92	87.52	337
N _{Ma}	6.25	0.0	0.0	0.0	0
W _{Ma}	91.97	0.0	0.0	0.0	0
R _{CIE}	39.92	59.8	31.05	67.38	27
J _{CIE}	81.26	-2.52	76.25	76.29	92
G _{CIE}	52.23	-41.56	17.14	44.96	158
B _{CIE}	30.57	2.63	-43.77	43.86	273



XG660-7, 3stufige Reihen für konstanten CIELAB Buntton 337/360 = 0.937 (links)

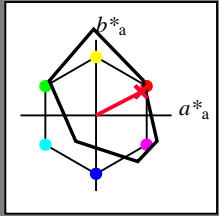
5stufige Reihen für konstanten CIELAB Buntton 337/360 = 0.937 (rechts)

Eingabe: Farbmetrisches Drucker-Reflektiv-System FRS06

für Buntton $h^* = lab^*h = 27/360 = 0.076$
 lab^*ich und lab^*nch

D65: Buntton R
 LCH*Ma: 33 73 27
 olv*Ma: 1.0 0.0 0.16

Dreiecks-Helligkeit t^*



%Umfang
 $u^*_{rel} = 115$
 %Regularität
 $g^*_{H,rel} = 28$
 $g^*_{C,rel} = 38$

FRS06; adaptierte CIELAB-Daten

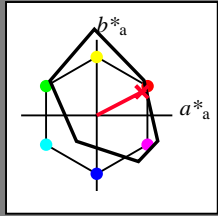
	$L^*=L^*_a$	a^*_a	b^*_a	$C^*_{ab,a}$	$h^*_{ab,a}$
O _{Ma}	32.57	62.32	46.49	77.75	37
Y _{Ma}	82.73	-3.16	113.99	114.03	92
L _{Ma}	39.43	-61.79	45.84	76.95	143
C _{Ma}	47.86	-26.79	-34.24	43.49	232
V _{Ma}	10.16	55.12	-61.03	82.24	312
M _{Ma}	34.5	80.68	-33.92	87.52	337
N _{Ma}	6.25	0.0	0.0	0.0	0
W _{Ma}	91.97	0.0	0.0	0.0	0
R _{CIE}	39.92	59.8	31.05	67.38	27
J _{CIE}	81.26	-2.52	76.25	76.29	92
G _{CIE}	52.23	-41.56	17.14	44.96	158
B _{CIE}	30.57	2.63	-43.77	43.86	273

Ausgabe: Farbmetrisches Drucker-Reflektiv-System FRS06

für Buntton $h^* = lab^*h = 27/360 = 0.076$
 lab^*ich und lab^*nch

D65: Buntton R
 LCH*Ma: 33 73 27
 olv*Ma: 1.0 0.0 0.16

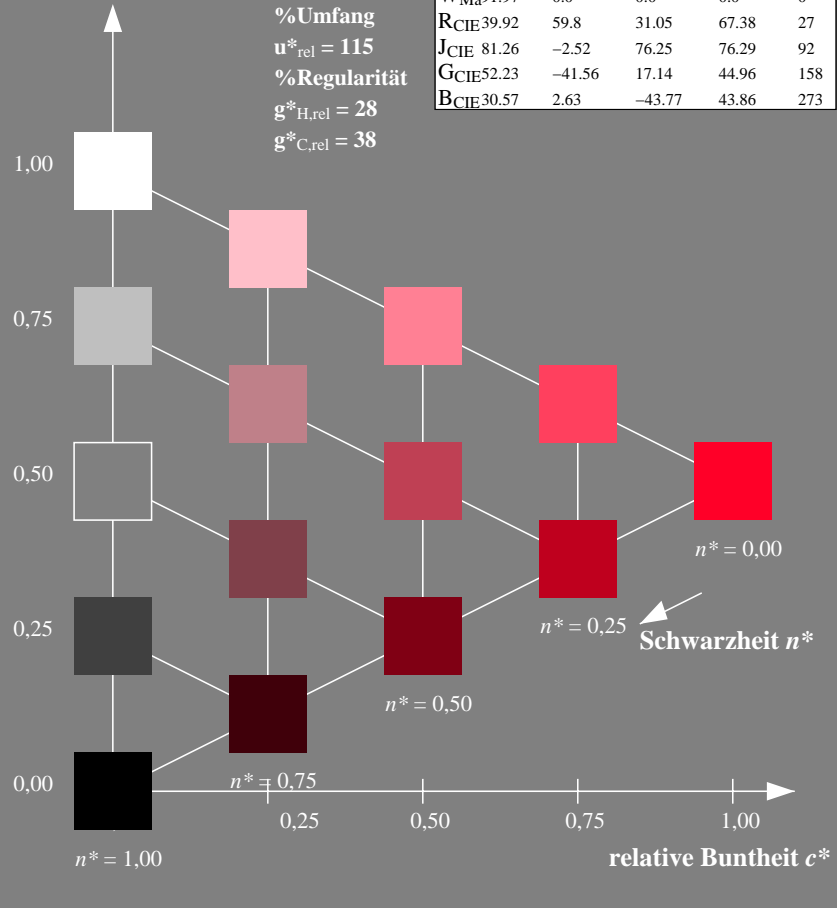
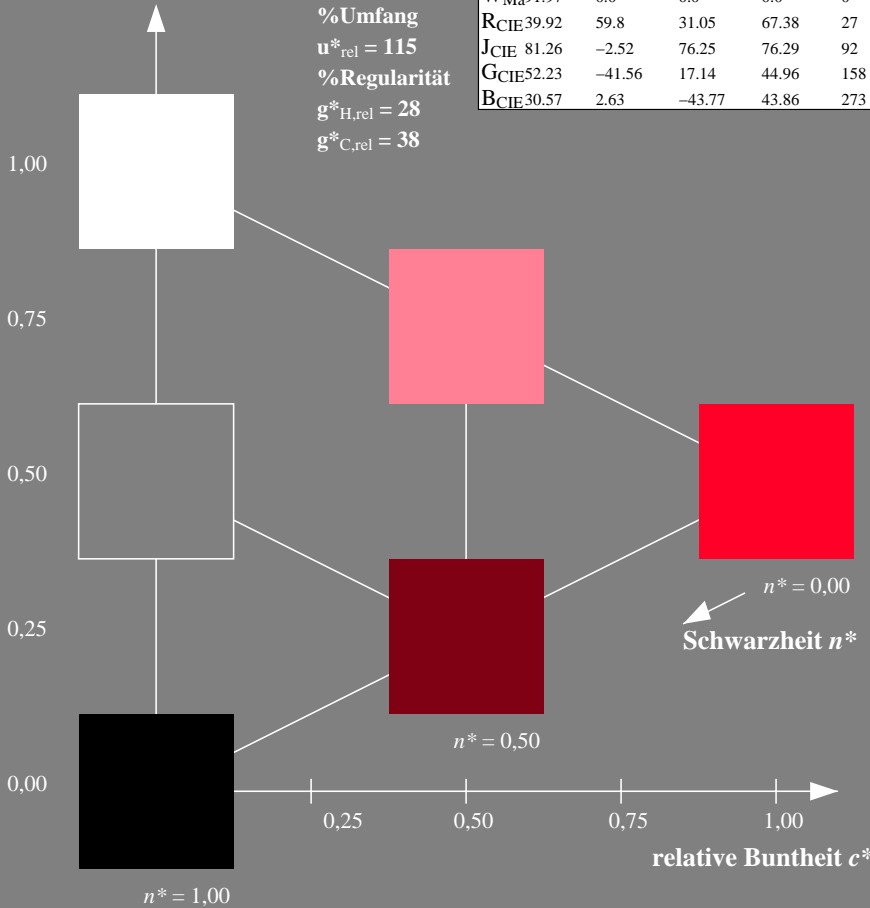
Dreiecks-Helligkeit t^*



%Umfang
 $u^*_{rel} = 115$
 %Regularität
 $g^*_{H,rel} = 28$
 $g^*_{C,rel} = 38$

FRS06; adaptierte CIELAB-Daten

	$L^*=L^*_a$	a^*_a	b^*_a	$C^*_{ab,a}$	$h^*_{ab,a}$
O _{Ma}	32.57	62.32	46.49	77.75	37
Y _{Ma}	82.73	-3.16	113.99	114.03	92
L _{Ma}	39.43	-61.79	45.84	76.95	143
C _{Ma}	47.86	-26.79	-34.24	43.49	232
V _{Ma}	10.16	55.12	-61.03	82.24	312
M _{Ma}	34.5	80.68	-33.92	87.52	337
N _{Ma}	6.25	0.0	0.0	0.0	0
W _{Ma}	91.97	0.0	0.0	0.0	0
R _{CIE}	39.92	59.8	31.05	67.38	27
J _{CIE}	81.26	-2.52	76.25	76.29	92
G _{CIE}	52.23	-41.56	17.14	44.96	158
B _{CIE}	30.57	2.63	-43.77	43.86	273



XG660-7, 3stufige Reihen für konstanten CIELAB Buntton 27/360 = 0.076 (links)

5stufige Reihen für konstanten CIELAB Buntton 27/360 = 0.076 (rechts)

BAM-Prüfvorlage XG66; Farbmetrik-Systeme FRS06 & FRS06 Eingabe: $olv^*/rgb^* setrgbcolor$
 D65: 3 und 5stufige Farbreihen für 10 Bunttöne
 Ausgabe: keine Eingabeänderung

BAM-Registrierung: 20061001-XG66/10L/L66G06NP.PS/.PDF BAM-Material: Code=rh4ta
 Anwendung für Beurteilung und Messung von Drucker- oder Monitorssystemen
 /XG66/ Form: 7/10, Serie: 1/1, Seite: 7
 Seitenhang 1

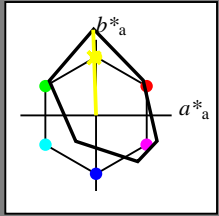
Siehe ähnliche Dateien: <http://www.ps.bam.de/XG66/>
 Technische Information: <http://www.ps.bam.de> Version 2.1, io=1,1

Eingabe: Farbmetrisches Drucker-Reflektiv-System FRS06

für Buntton $h^* = lab^*h = 92/360 = 0.255$
 lab^*ich und lab^*nch

D65: Buntton J
 LCH*Ma: 82 113 92
 olv*Ma: 0.99 1.0 0.0

Dreiecks-Helligkeit t^*



%Umfang
 $u^*_{rel} = 115$
 %Regularität
 $g^*_{H,rel} = 28$
 $g^*_{C,rel} = 38$

FRS06; adaptierte CIELAB-Daten

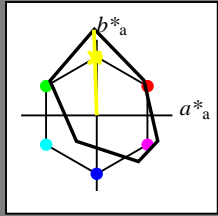
	$L^*=L^*_a$	a^*_a	b^*_a	$C^*_{ab,a}$	$h^*_{ab,a}$
OMa	32.57	62.32	46.49	77.75	37
YMa	82.73	-3.16	113.99	114.03	92
LMa	39.43	-61.79	45.84	76.95	143
CMa	47.86	-26.79	-34.24	43.49	232
VMa	10.16	55.12	-61.03	82.24	312
MMa	34.5	80.68	-33.92	87.52	337
NMa	6.25	0.0	0.0	0.0	0
WMa	91.97	0.0	0.0	0.0	0
RCIE	39.92	59.8	31.05	67.38	27
JCIE	81.26	-2.52	76.25	76.29	92
GCIE	52.23	-41.56	17.14	44.96	158
BCIE	30.57	2.63	-43.77	43.86	273

Ausgabe: Farbmetrisches Drucker-Reflektiv-System FRS06

für Buntton $h^* = lab^*h = 92/360 = 0.255$
 lab^*ich und lab^*nch

D65: Buntton J
 LCH*Ma: 82 113 92
 olv*Ma: 0.99 1.0 0.0

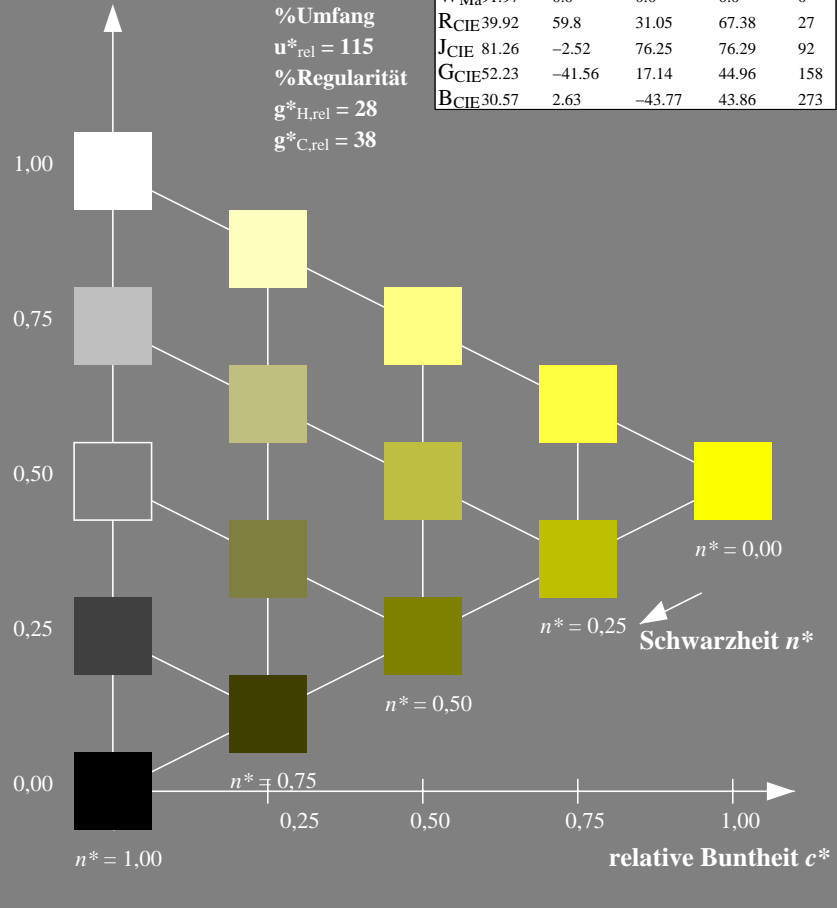
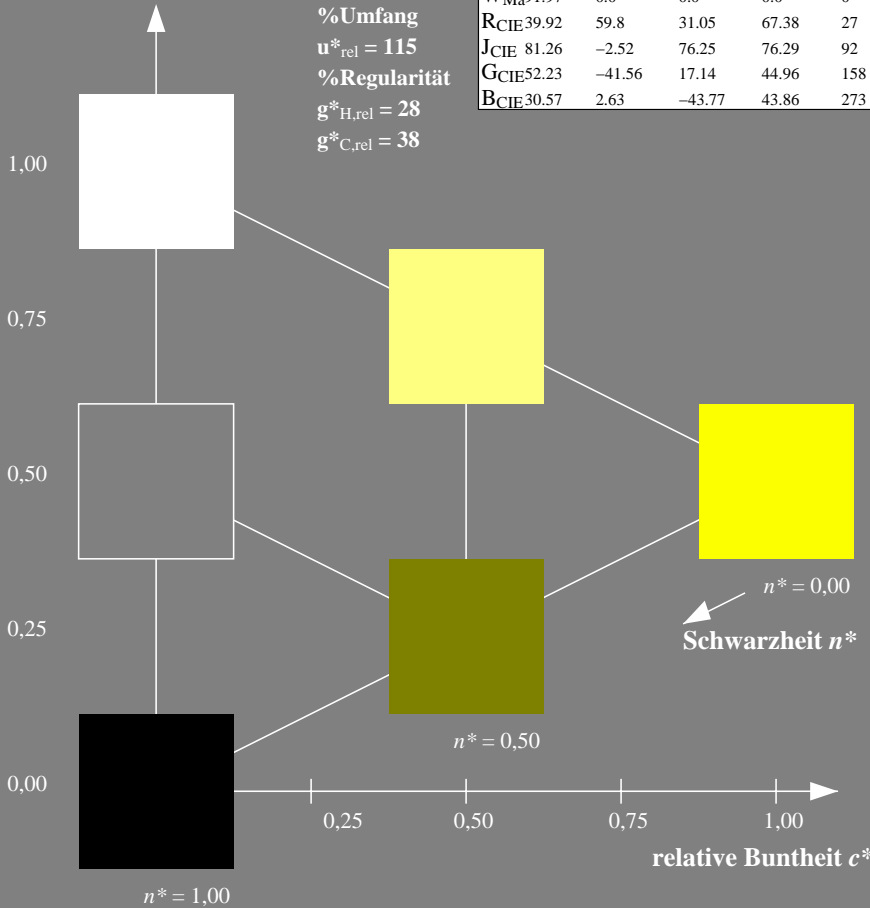
Dreiecks-Helligkeit t^*



%Umfang
 $u^*_{rel} = 115$
 %Regularität
 $g^*_{H,rel} = 28$
 $g^*_{C,rel} = 38$

FRS06; adaptierte CIELAB-Daten

	$L^*=L^*_a$	a^*_a	b^*_a	$C^*_{ab,a}$	$h^*_{ab,a}$
OMa	32.57	62.32	46.49	77.75	37
YMa	82.73	-3.16	113.99	114.03	92
LMa	39.43	-61.79	45.84	76.95	143
CMa	47.86	-26.79	-34.24	43.49	232
VMa	10.16	55.12	-61.03	82.24	312
MMa	34.5	80.68	-33.92	87.52	337
NMa	6.25	0.0	0.0	0.0	0
WMa	91.97	0.0	0.0	0.0	0
RCIE	39.92	59.8	31.05	67.38	27
JCIE	81.26	-2.52	76.25	76.29	92
GCIE	52.23	-41.56	17.14	44.96	158
BCIE	30.57	2.63	-43.77	43.86	273



XG660-7, 3stufige Reihen für konstanten CIELAB Buntton 92/360 = 0.255 (links)

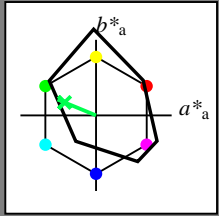
5stufige Reihen für konstanten CIELAB Buntton 92/360 = 0.255 (rechts)

Eingabe: Farbmetrisches Drucker-Reflektiv-System FRS06

für Buntton $h^* = lab^*h = 158/360 = 0.438$
 lab^*ich und lab^*nch

D65: Buntton G
 LCH*Ma: 42 55 158
 olv*Ma: 0.0 1.0 0.31

Dreiecks-Helligkeit t^*



%Umfang
 $u^*_{rel} = 115$
 %Regularität
 $g^*_{H,rel} = 28$
 $g^*_{C,rel} = 38$

FRS06; adaptierte CIELAB-Daten

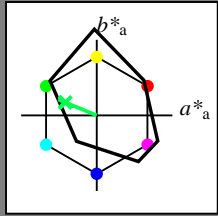
	$L^*=L^*_a$	a^*_a	b^*_a	$C^*_{ab,a}$	$h^*_{ab,a}$
O _{Ma}	32.57	62.32	46.49	77.75	37
Y _{Ma}	82.73	-3.16	113.99	114.03	92
L _{Ma}	39.43	-61.79	45.84	76.95	143
C _{Ma}	47.86	-26.79	-34.24	43.49	232
V _{Ma}	10.16	55.12	-61.03	82.24	312
M _{Ma}	34.5	80.68	-33.92	87.52	337
N _{Ma}	6.25	0.0	0.0	0.0	0
W _{Ma}	91.97	0.0	0.0	0.0	0
R _{CIE}	39.92	59.8	31.05	67.38	27
J _{CIE}	81.26	-2.52	76.25	76.29	92
G _{CIE}	52.23	-41.56	17.14	44.96	158
B _{CIE}	30.57	2.63	-43.77	43.86	273

Ausgabe: Farbmetrisches Drucker-Reflektiv-System FRS06

für Buntton $h^* = lab^*h = 158/360 = 0.438$
 lab^*ich und lab^*nch

D65: Buntton G
 LCH*Ma: 42 55 158
 olv*Ma: 0.0 1.0 0.31

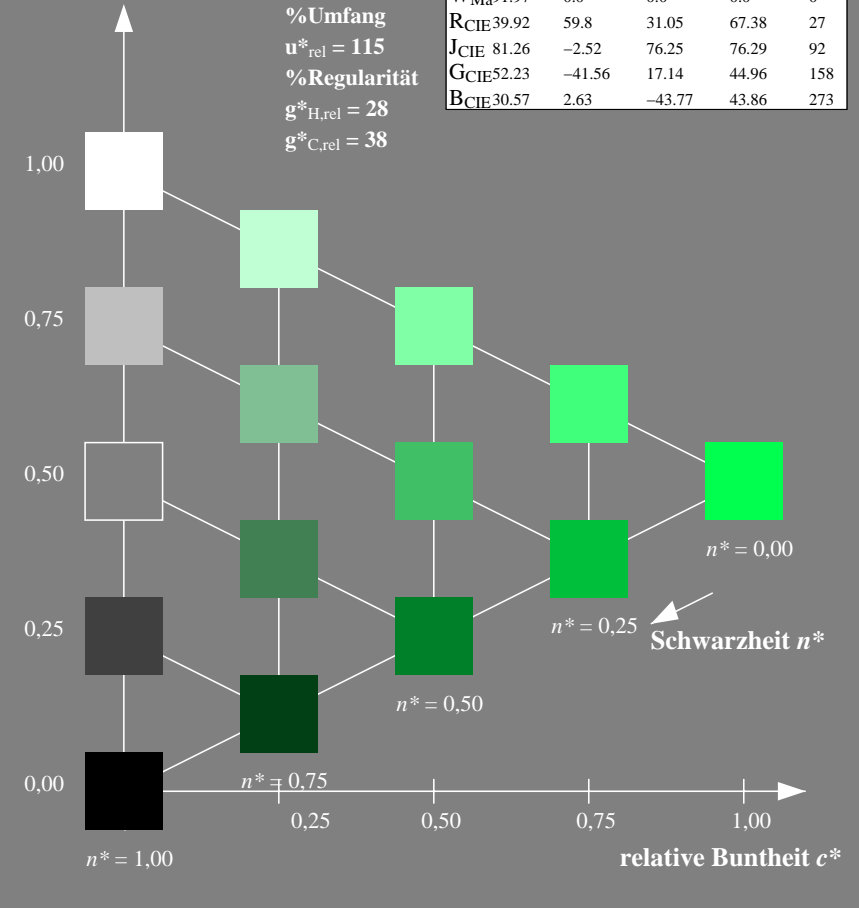
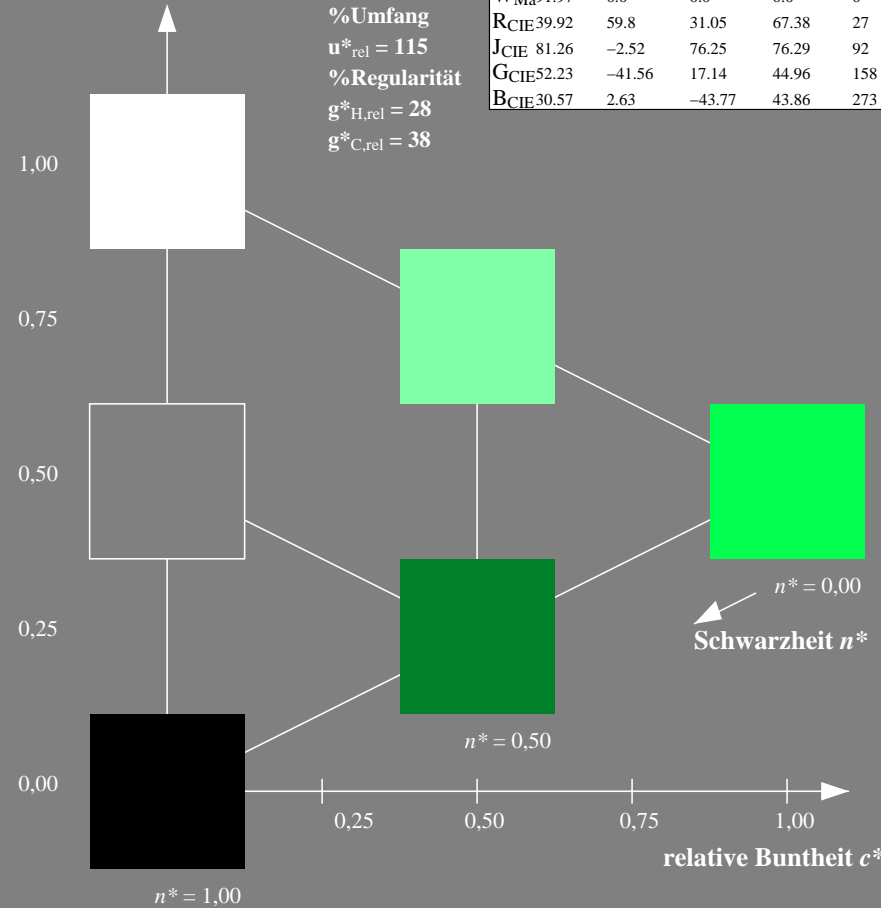
Dreiecks-Helligkeit t^*



%Umfang
 $u^*_{rel} = 115$
 %Regularität
 $g^*_{H,rel} = 28$
 $g^*_{C,rel} = 38$

FRS06; adaptierte CIELAB-Daten

	$L^*=L^*_a$	a^*_a	b^*_a	$C^*_{ab,a}$	$h^*_{ab,a}$
O _{Ma}	32.57	62.32	46.49	77.75	37
Y _{Ma}	82.73	-3.16	113.99	114.03	92
L _{Ma}	39.43	-61.79	45.84	76.95	143
C _{Ma}	47.86	-26.79	-34.24	43.49	232
V _{Ma}	10.16	55.12	-61.03	82.24	312
M _{Ma}	34.5	80.68	-33.92	87.52	337
N _{Ma}	6.25	0.0	0.0	0.0	0
W _{Ma}	91.97	0.0	0.0	0.0	0
R _{CIE}	39.92	59.8	31.05	67.38	27
J _{CIE}	81.26	-2.52	76.25	76.29	92
G _{CIE}	52.23	-41.56	17.14	44.96	158
B _{CIE}	30.57	2.63	-43.77	43.86	273



XG660-7, 3stufige Reihen für konstanten CIELAB Buntton 158/360 = 0.438 (links)

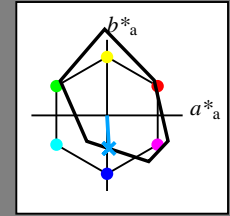
5stufige Reihen für konstanten CIELAB Buntton 158/360 = 0.438 (rechts)

Eingabe: Farbmetrisches Drucker-Reflektiv-System FRS06

für Buntton $h^* = lab^*h = 273/360 = 0.76$
 lab^*ich und lab^*nch

D65: Buntton B
 LCH*Ma: 34 44 273
 olv*Ma: 0.0 0.64 1.0

Dreiecks-Helligkeit t^*



%Umfang
 $u^*_{rel} = 115$
 %Regularität
 $g^*_{H,rel} = 28$
 $g^*_{C,rel} = 38$

FRS06; adaptierte CIELAB-Daten

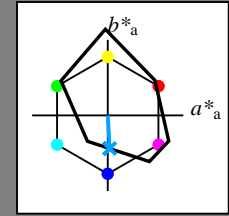
	$L^*=L^*_a$	a^*_a	b^*_a	$C^*_{ab,a}$	$h^*_{ab,a}$
O _{Ma}	32.57	62.32	46.49	77.75	37
Y _{Ma}	82.73	-3.16	113.99	114.03	92
L _{Ma}	39.43	-61.79	45.84	76.95	143
C _{Ma}	47.86	-26.79	-34.24	43.49	232
V _{Ma}	10.16	55.12	-61.03	82.24	312
M _{Ma}	34.5	80.68	-33.92	87.52	337
N _{Ma}	6.25	0.0	0.0	0.0	0
W _{Ma}	91.97	0.0	0.0	0.0	0
R _{CIE}	39.92	59.8	31.05	67.38	27
J _{CIE}	81.26	-2.52	76.25	76.29	92
G _{CIE}	52.23	-41.56	17.14	44.96	158
B _{CIE}	30.57	2.63	-43.77	43.86	273

Ausgabe: Farbmetrisches Drucker-Reflektiv-System FRS06

für Buntton $h^* = lab^*h = 273/360 = 0.76$
 lab^*ich und lab^*nch

D65: Buntton B
 LCH*Ma: 34 44 273
 olv*Ma: 0.0 0.64 1.0

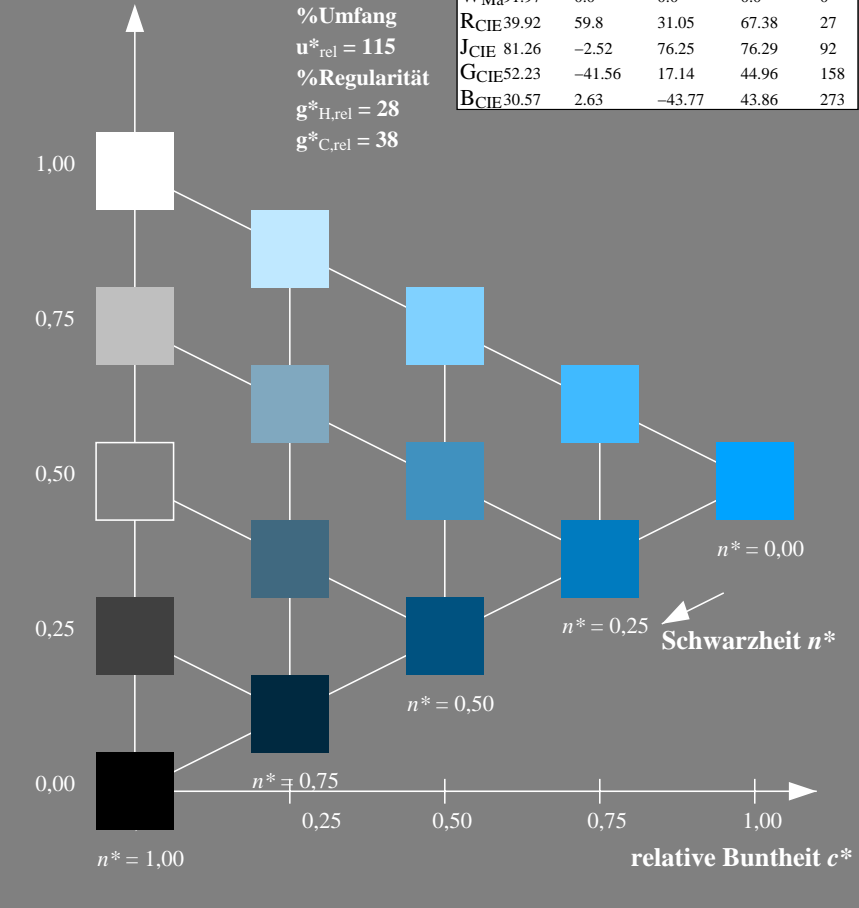
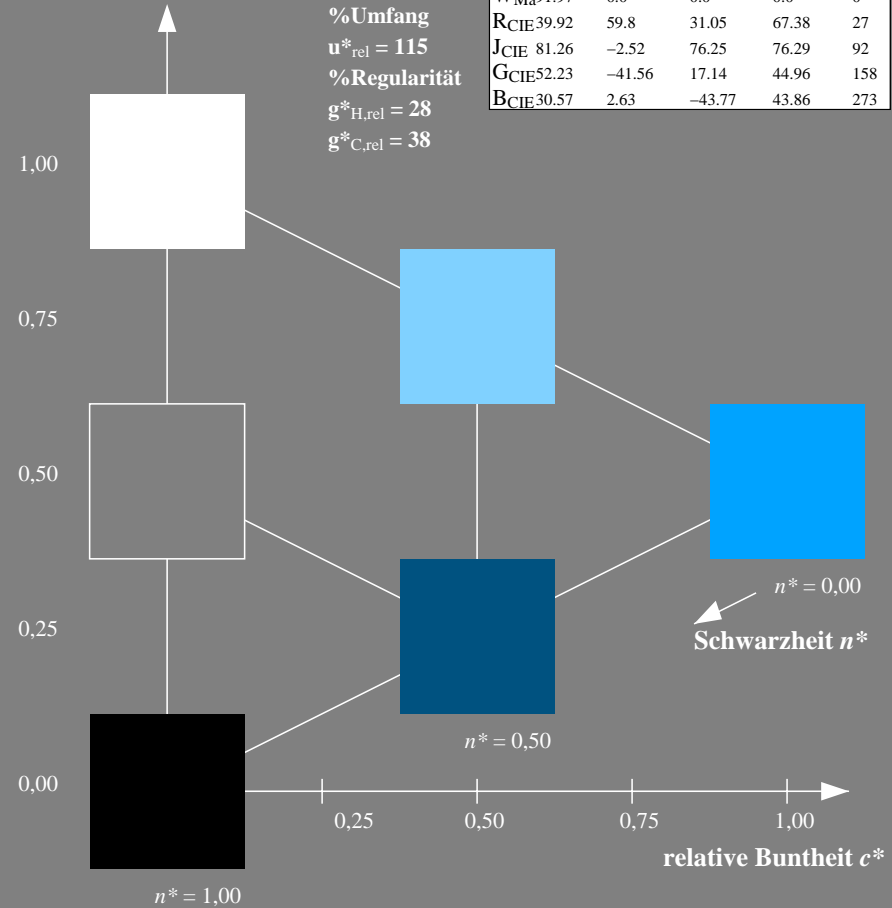
Dreiecks-Helligkeit t^*



%Umfang
 $u^*_{rel} = 115$
 %Regularität
 $g^*_{H,rel} = 28$
 $g^*_{C,rel} = 38$

FRS06; adaptierte CIELAB-Daten

	$L^*=L^*_a$	a^*_a	b^*_a	$C^*_{ab,a}$	$h^*_{ab,a}$
O _{Ma}	32.57	62.32	46.49	77.75	37
Y _{Ma}	82.73	-3.16	113.99	114.03	92
L _{Ma}	39.43	-61.79	45.84	76.95	143
C _{Ma}	47.86	-26.79	-34.24	43.49	232
V _{Ma}	10.16	55.12	-61.03	82.24	312
M _{Ma}	34.5	80.68	-33.92	87.52	337
N _{Ma}	6.25	0.0	0.0	0.0	0
W _{Ma}	91.97	0.0	0.0	0.0	0
R _{CIE}	39.92	59.8	31.05	67.38	27
J _{CIE}	81.26	-2.52	76.25	76.29	92
G _{CIE}	52.23	-41.56	17.14	44.96	158
B _{CIE}	30.57	2.63	-43.77	43.86	273



XG660-7, 3stufige Reihen für konstanten CIELAB Buntton 273/360 = 0.76 (links)

5stufige Reihen für konstanten CIELAB Buntton 273/360 = 0.76 (rechts)

BAM-Prüfvorlage XG66; Farbmetrik-Systeme FRS06 & FRS06 Eingabe: olv*/rgb* setrgbcolor
 D65: 3 und 5stufige Farbreihen für 10 Bunttöne Ausgabe: keine Eingabeänderung

BAM-Registrierung: 20061001-XG66/10L/L66G09NP.PS/.PDF BAM-Material: Code=rh4ta
 Anwendung für Beurteilung und Messung von Drucker- oder Monitorssystemen
 /XG66/ Form: 1010Serie: 1/1, Seite: 10
 Seite: 10